



**ESCOLA DE ENGENHARIA DE LORENA  
UNIVERSIDADE DE SÃO PAULO  
DEPARTAMENTO DE CIÊNCIAS BÁSICAS E AMBIENTAIS**

## Lista de Exercícios 1: Ótica geométrica e ondas eletromagnéticas

1. O ângulo de incidência  $\theta_1$  para o qual o raio refletido é perpendicular ao raio refratado chama-se ângulo de Brewster. Obtenha o ângulo de Brewster  $\theta_{1B}$  em função do índice de refração relativo  $n_{12}$  do meio 2 em relação ao meio 1.
2. Uma lâmina de vidro de faces planas paralelas tem um índice de refração  $n$  e espessura  $h$ . Um raio de luz incide sobre ela com ângulo de incidência  $\theta_1$ . Mostre que o raio transmitido através da lâmina é paralelo ao raio incidente. A distância perpendicular  $d$  entre o raio incidente e o prolongamento do raio transmitido (veja a Fig.1) chama-se desvio lateral. Calcule  $d$  em função de  $n$ ,  $h$  e  $\theta_1$ .

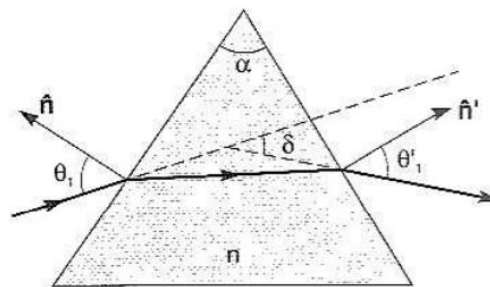
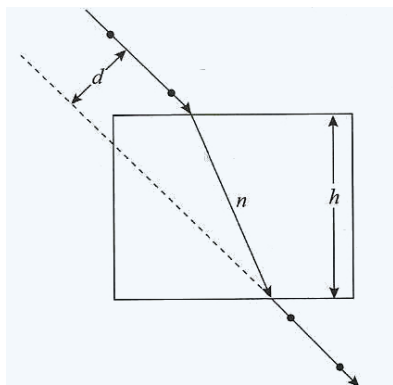


Figura 1: Exercícios 2 e 3

3. Considere um prisma de ângulo de abertura  $\alpha$  e um raio incidente sobre uma face com ângulo de incidência  $\theta_1$ , seja  $n$  o índice de refração do prisma. Chama-se desvio  $\delta$  o ângulo entre as direções do raio emergente e do raio incidente (veja a Fig.1). Mostre que, para pequenos ângulos de abertura ( $\alpha \ll 1$ ) e pequenos ângulos de incidência ( $\theta_1 \ll 1$ ), o desvio é independente de  $\theta_1$  e é dado por  $\delta = (n - 1)\alpha$ .
4. Repita a dedução vista em sala de aula para um espelho esférico, desta vez para o caso convexo, mostrando que a relação distância objeto, imagem e raio do espelho, permanece a mesma, mas com  $R < 0$ . Mostre também que a mesma expressão para o aumento lateral permanece válida nesse caso.
5. Repita a dedução vista em sala de aula para uma superfície refratora esférica, desta vez para o caso côncavo, mostrando que a relação distância objeto, imagem e raio, assim como o aumento lateral e a fórmula de Newton, permanecem as mesmas, mas com  $R < 0$ .
6. No experimento do *espelho de Lloyd*, observa-se num anteparo  $\mathcal{O}$  a interferência entre a luz que vai diretamente de uma fonte puntiforme  $F$  para um ponto  $P$  do anteparo  $\mathcal{O}$  e a luz que vai de  $F$  para  $P$  refletindo-se numa placa plana de vidro  $E$  (Fig.2). A distância de  $F$  ao plano da placa é  $d$  e a distância

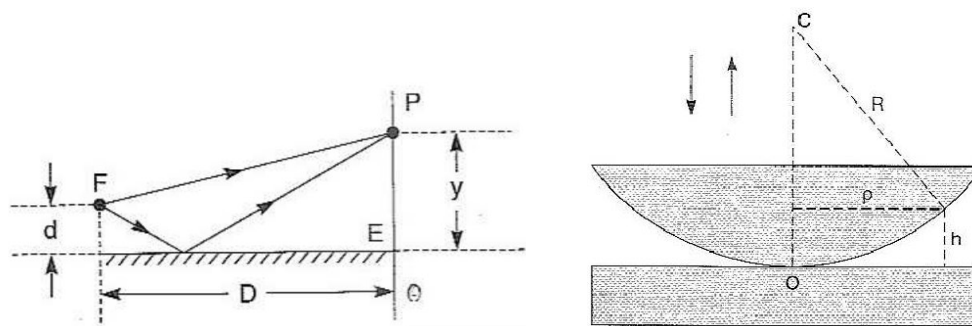


Figura 2: Exercícios 6 e 7

- de F a  $\mathcal{O}$  é  $D \gg d$ . Observa-se a primeira franja brilhante (máximo) de interferência num ponto P a uma distância  $y$  do plano da placa, usando luz monocromática de comprimento de onda  $\lambda$ . Calcule  $y$  em função de  $\lambda$ ,  $d$  e  $D$ .
7. Considere a experiência dos anéis de Newton descrita em sala de aula. Uma lente plano-convexa de raio de curvatura  $R$  é colocada em contato com uma placa plana de vidro e iluminada na incidência perpendicular, como mostrado na Fig.2.
    - (a) Calcule a relação entre as distâncias  $\rho$  e  $h$  da figura na vizinhança do ponto de contato  $\mathcal{O}$  ( $h \ll R$ ).
    - (b) Calcule o raio  $\rho_m$  do  $m$ -ésimo anel escuro, visto na luz refletida, com luz monocromática de comprimento de onda  $\lambda$ .
  8. A Fig.3 mostra um feixe de luz incidindo perpendicularmente numa lâmina muito fina de ar. Os índices de refração dos outros dois materiais seguem a seguinte relação:  $n_2 > n_1 > 1$ . Qual é a mínima espessura não nula que a lâmina de ar deve ter para produzir interferência destrutiva para a luz refletida, se a luz incidente possui comprimento de onda  $\lambda_0$ , medido no ar?

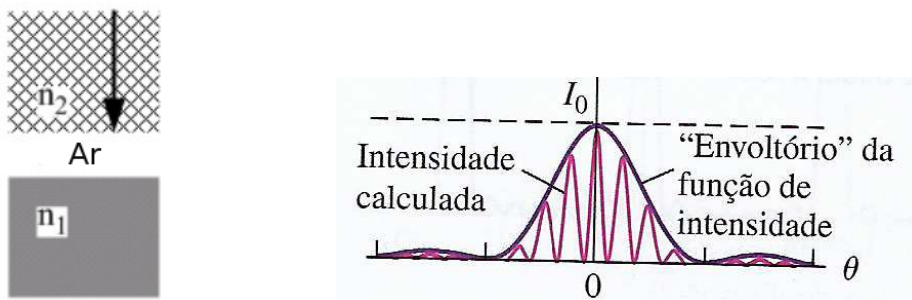


Figura 3: Exercícios 8 e 12

9. Uma fonte S de luz monocromática e um detetor D estão localizados ambos no ar, a uma distância  $h$  sobre uma folha de vidro plana horizontal, e estão separados por uma distância horizontal  $x$ . As ondas que atingem D diretamente desde S interferem com as ondas que se refletem no vidro. A distância  $x$  é pequena comparada a  $h$  tal que a reflexão acontece perto de incidência normal. Ache as condições para interferência construtiva e destrutiva.
10. Considere um experimento de interferência de duas fendas de largura diferente. Em um anteparo distante são medidas as amplitudes de onda de cada fenda. Para a primeira fenda é obtida uma amplitude  $E$ , e para a segunda a amplitude é dada por  $2E$ .

- (a) Mostre que a intensidade em qualquer ponto no padrão de interferência é

$$I = I_0 \left( \frac{5}{9} + \frac{4}{9} \cos \phi \right), \quad (1)$$

onde  $\phi$  é a diferença de fase entre as duas ondas em um ponto particular sobre o anteparo e  $I_0$  é a intensidade máxima no padrão (expresse essa intensidade em termos de  $E$  para achar (1)).

- (b) Faça um gráfico de  $I$  em termos de  $\phi$ . Qual o menor valor da intensidade e para quais valores de  $\phi$  ela ocorre?
11. Considere a figura de interferência produzida por duas fendas paralelas de largura  $a$  e distância de separação  $d = 3a$ . As fendas são iluminadas por uma luz que incide normalmente com um comprimento de onda  $\lambda$ .
- (a) Primeiro desprezaremos os efeitos de difração decorrentes da largura da fenda. Em que ângulos  $\theta$  formados com o máximo central ocorrerão os próximos quatro máximos na figura de interferência em fenda dupla? Sua resposta deve ser dada em termos de  $d$  e  $\lambda$ .
- (b) Agora incluiremos os efeitos de difração. Se a intensidade em  $\theta = 0^\circ$  é  $I_0$ , qual é a intensidade em cada um dos ângulos no item (a)?
- (c) Quais máximos da interferência em fenda dupla estão ausentes na figura?
12. Na Fig.3, o máximo central da difração contém exatamente sete franjas de interferência e, nesse caso,  $d/a = 4$ .
- (a) Qual deve ser a razão  $d/a$  para que o máximo central da difração contenha exatamente cinco franjas?
- (b) No caso considerado no item (a), quantas franjas há no primeiro máximo de difração existente de cada lado do máximo central?
13. Um padrão de interferência é produzido por 4 fendas estreitas, paralelas e igualmente espaçadas. Usando um diagrama de fasores, mostre que existe um mínimo de interferência quando a diferença de fase  $\Delta$  entre 2 fendas adjacentes é
- (a)  $\pi/2$
- (b)  $\pi$
- (c)  $3\pi/2$
- (d) Em cada caso para quais pares de fendas existe interferência totalmente destrutiva?
14. Dois comprimentos de onda  $\lambda$  e  $\lambda + \Delta\lambda$  (com  $\Delta\lambda \ll \lambda$ ) incidem em uma rede de difração. Mostre que a separação angular entre as linhas espectrais no espectro de ordem  $m$  é

$$\Delta\theta = \frac{\Delta\lambda}{\sqrt{(d/m)^2 - \lambda^2}}, \quad (2)$$

onde  $d$  é o espaçamento entre as fendas.

15. A partir da lei de Ampère em ausência de fontes, determine a relação de Maxwell  $\mathbf{n} = \sqrt{\epsilon}$ . Dica: Pode ser útil a identidade vetorial  $\nabla \times (\nabla \times \mathbf{X}) = \nabla(\nabla \cdot \mathbf{X}) - \nabla^2 \mathbf{X}$ , válida para qualquer vetor  $\mathbf{X}$ .
16. (a) Mostre que as equações de Maxwell num meio dielétrico não se alteram pela substituição:

$$\vec{E}' = \frac{1}{\alpha} \vec{B}, \quad \vec{B}' = -\alpha \vec{E}, \quad (3)$$

desde que a constante  $\alpha$  seja escolhida apropriadamente (determine o valor de  $\alpha$ ).

- (b) Que acontece com o vetor de Poynting  $\vec{S}$  nessa substituição?
- (c) Como ficam as densidades de energia  $U_E$  e  $U_M$ ?
17. Uma placa transparente de índice de refração  $n_2$  é imersa num meio de índice  $n_1$ . A luz que viaja no meio 1 atinge a superfície superior da placa com um ângulo que corresponde ao ângulo de polarização do meio (ângulo de Brewster). Mostre que somente quando as superfícies superior e inferior da placa são paralelas, a luz refratada atingirá a superfície inferior da placa com o ângulo de Brewster para aquela interface.